



## کاربرد جبرخطی در رده‌بندی پوشش‌های آبله‌مقدماتی متقارن گراف نائورو

علی اصغر طالبی<sup>\*</sup>، نرگس مهدی‌پور

گروه ریاضی، دانشکده علوم ریاضی، دانشگاه مازندران، بابلسر، ایران

دبیر مسئول: سعید علیخانی

تاریخ پذیرش: ۱۴۰۲/۳/۸

تاریخ دریافت: ۱۴۰۱/۳/۳۰

چکیده: فرض کنید  $X$  یک گراف و  $G$  زیرگروه  $\text{Aut}(X)$  باشد. گراف  $X$  را  $G$ -متقارن گویند هرگاه  $G$  روی کمان‌ها به صورت انتقالی عمل کند. روش پوششی مدت طولانی است که به‌عنوان ابزار نیرومندی در توپولوژی و نظریه‌ی گراف شناخته شده است. در این مقاله با استفاده از مفاهیم جبرخطی و روش‌های پوششی به رده‌بندی پوشش‌های آبله‌مقدماتی متقارن گراف نائورو برای یکی از زیرگروه‌های متقارن آن خواهیم پرداخت.

واژه‌های کلیدی: گراف متقارن، گراف پوششی، تخصیص ولتاژ، زیرفضاهای پایا.

رده‌بندی ریاضی: 05C25; 20B25.

### ۱ مقدمه

در این مقاله همه‌ی گراف‌ها ساده، متناهی و همبندند. مجموعه‌ی رئوس، یال‌ها، کمان‌ها و گروه خودریختی گراف  $X$  به ترتیب با نمادهای  $V(X)$ ،  $E(X)$ ،  $A(X)$  و  $\text{Aut}(X)$  نشان داده می‌شود. در این مقاله نماد  $\leq$  هم برای زیرگروه و هم برای زیرفضا به کار می‌رود. یک گراف  $X$  را  $k$ -منظم می‌گوییم هرگاه درجه‌ی همه‌ی رئوس آن برابر با عدد  $k$  باشد. ضمناً گراف ۳-منظم را گراف مکعبی گویند.

تعریف ۱.۱. فرض کنیم  $X$  یک گراف و  $N$  زیرگروهی غیرانتقالی از  $\text{Aut}(X)$  باشد. گراف خارج قسمتی  $\frac{X}{N}$  یا  $X_N$  القایی توسط  $N$  به صورت زیر تعریف می‌شود:

۱- مجموعه‌ی رئوس این گراف، مجموعه‌ی همه‌ی مدارهای گراف تحت عمل  $N$  روی  $V(X)$  است.

۲- فرض کنیم  $A$  و  $B$  متعلق به  $V(\frac{X}{N})$  باشند (دو راس از گراف خارج قسمتی)،  $\{A, B\}$  یک یال در گراف است اگر و تنها اگر  $u \in A$  و  $v \in B$  وجود داشته باشند به طوری که  $u$  و  $v$  در گراف  $X$  مجاور باشند.

<sup>\*</sup>نویسنده مسئول مقاله

رایانامه: a.talebi@umz.ac.ir (A.A. Talebi), n.mehdipour@umz.ac.ir (N. Mehdipoor)

تعریف ۲.۱. فرض کنیم  $X$  و  $\bar{X}$  دو گراف باشند. هم‌ریختی پوشای  $X \rightarrow \bar{X} : p$  را تصویر پوششی می‌نامند، هرگاه  $p$  یک تابع دوسویی موضعی باشد؛ یعنی برای هر راس  $\bar{v} \in V(\bar{X})$ ، تحدید  $p$  به همسایگی  $N_{\bar{X}}(\bar{v})$  یک تابع دوسویی به توی همسایگی  $N_X(p(\bar{v}))$  باشد که  $p(\bar{v}) \in V(X)$  است. در این صورت گراف  $\bar{X}$  را گراف پوشش و  $X$  را گراف پایه گویند.

تعریف ۳.۱. فرض کنیم  $X$  یک گراف و  $\bar{X}$  پوششی از گراف  $X$  باشد. این پوشش را منظم یا  $K$ -پوشش گویند هرگاه زیرگروه نیم منظم  $K$  از  $\text{Aut}(X)$  وجود داشته باشد به طوری که گراف  $X$  با گراف خارج قسمتی  $\frac{\bar{X}}{K}$  یک‌ریخت باشد. فرض کنیم  $\bar{X}$  پوششی از گراف  $X$  باشد، این پوشش را اَبلی مقدماتی گویند زمانی که  $K$  اَبلی مقدماتی باشد.

گراف  $X$  را راس - انتقالی، یال - انتقالی و کمان - انتقالی است هرگاه  $\text{Aut}(X)$ ، به ترتیب روی مجموعه‌ی راس‌ها، یال‌ها و کمان‌ها به طور انتقالی عمل کند.

تعریف ۴.۱. فرض کنیم  $s$  یک عدد صحیح نامنفی باشد، یک  $s$ -کمان در گراف یک  $s+1$ -تایی مانند  $(v_0, v_1, \dots, v_s)$  است به طوری که  $v_{i-1}$  با  $v_i$  برای  $1 \leq i \leq s$  مجاور و برای هر  $1 \leq i < s$ ،  $v_{i-1} \neq v_{i+1}$ . گراف  $X$  را  $s$ -کمان انتقالی می‌گوییم هرگاه  $\text{Aut}(X)$  روی مجموعه‌ی  $s$ -کمان‌های  $X$  به طور انتقالی عمل کند. یک گراف  $0$ -کمان - انتقالی، گرافی راس - انتقالی است. یک گراف  $1$ -کمان - انتقالی، گرافی کمان - انتقالی است.

استفاده از روش‌های پوششی یکی از موضوعات مورد بحث در نظریه‌ی جبری گراف است. این روش کاربرد فراوانی در توپولوژی دارد. تات در سال ۱۹۶۶ اثبات کرد که هر گراف یال - انتقالی و راس - انتقالی از درجه‌ی فرد، متقارن است [۲۵]. کندر و هم‌کارانش در سال ۲۰۰۶ رده‌بندی کاملی از گراف‌های متقارن تا مرتبه ۷۶۸ را ارائه کردند [۵]. تات در [۲۵] نشان داده است که اگر گرافی  $s$ -منظم مکعبی باشد، آن‌گاه  $s$  حداکثر ۵ است. کندر در [۴] گراف‌های  $s$ -منظم مکعبی را تا مرتبه ۲۰۴۸ با استفاده از نرم‌افزار مگما [۲] رده‌بندی کرد. در سال‌های ۲۰۰۶ و ۲۰۰۷ مطالعات توسط فنگ و هم‌کارانش روی گراف  $s$ -منظم صورت گرفت [۹]، [۱۰]. کواک، فنگ و ونگ در [۸] گراف‌های متقارن مکعبی از مرتبه‌های  $8p^2$  و  $8p^3$  را رده‌بندی کردند. رده‌بندی و مطالعه‌ی گراف‌های  $s$ -منظم مکعبی از مرتبه‌های  $22p^2$  و  $22p^3$  توسط طالبی و مهدی‌پور [۲۴] انجام شده است. ایز چنگ و اوکسلی در [۳] رده‌بندی گراف‌های  $1$ -منظم از مرتبه‌ی  $2p$  را انجام داده‌اند.

رده‌بندی گراف‌های متقارن از درجه‌ی چهار با در نظر گرفتن گروه خودریختی‌هایشان توسط گاردینر و پراگر در سال ۱۹۹۴ مطرح گردید [۱۱]، [۱۲]. قاسمی و هم‌کارش در [۱۴] به رده‌بندی گراف‌های  $s$ -انتقالی از درجه‌ی چهار با مرتبه‌ی  $4p^2$  پرداختند. قاسمی رده‌بندی گراف‌های  $1$ -منظم از درجه‌ی چهار با مرتبه‌ی  $3p^2$  را در سال ۲۰۱۲ مورد مطالعه قرار داد [۱۳]. رده‌بندی گراف‌های  $s$ -منظم مکعبی از درجه‌ی پنج امروزه بسیار مورد بحث و بررسی قرار گرفته است که در این میان می‌توان به رده‌بندی گراف‌های متقارن از مرتبه‌ی  $2pq$  اشاره کرد [۱۷].

رده‌بندی پوشش‌های اَبلی مقدماتی با استفاده از روش‌های جبرخطی در سال‌های اخیر بسیار مورد توجه قرار گرفت در این میان می‌توان به رده‌بندی پوشش‌های اَبلی مقدماتی گراف‌های  $K_3$ ،  $K_4$ ،  $Q_3$ ، پترسن، مویوس-کانتور، پاپوس، اکتاهیدر، گراف دوبخشی کامل  $K_{4,4}$  و گراف کامل  $K_5$  اشاره نمود. برای نمونه می‌توان مراجع [۷]، [۸]، [۱۰]، [۱۸]، [۲۰]، [۲۱] و همچنین [۲۲] را مطالعه نمود. در این مقاله با استفاده از مفاهیم جبرخطی و روش‌های پوششی به رده‌بندی پوشش‌های اَبلی مقدماتی متقارن گراف نائورو برای یکی از زیرگروه‌های متقارن آن پرداخته می‌شود.

## ۲ تخصیص ولتاژ و گروه همولوژی اول

در این بخش مفهوم جدیدی از نظریه‌ی جبری گراف معرفی می‌شود. این مفهوم تحت عنوان تخصیص ولتاژ است که نقش اساسی در معرفی گراف‌های متقارن دارد. با استفاده از این تخصیص ولتاژ گراف جدیدی معرفی خواهد شد که نشان داده می‌شود این گراف جدید پوششی برای گراف پایه است. فرض کنیم  $X$  یک گراف و  $K$  گروهی متناهی باشد. معکوس کمان  $a$  را با  $a^{-1}$  نشان می‌دهند.

تعریف ۱.۲. یک تخصیص ولتاژ (یا  $K$ -تخصیص ولتاژ) از  $X$  یک تابع  $K \rightarrow A(X) : \phi$  است با این خاصیت که برای هر  $a \in A(X)$ ،  $\phi(a^{-1}) = \phi(a)^{-1}$ ، مقادیر  $\phi$  را ولتاژ و  $K$  را گروه ولتاژ گویند.

گراف  $X \times_{\phi} K$  یا  $\text{Cov}(X, \phi)$  از تابع ولتاژ  $\phi$ ، گروه ولتاژ  $K$  و گراف  $X$  به دست می‌آید. مجموعه‌ی رئوس این گراف  $V(X) \times K$ ،  $\{(u, g) \mid u \in V(X), g \in K\}$  است. مجموعه‌ی یال‌های این گراف  $E(X) \times K$ ، به عبارتی  $\{(e, g) \mid e \in E(X), g \in K\}$  است. حال دو راس  $(u, g)$  و  $(v, g')$  در گراف  $X \times_{\phi} K$  با هم مجاورند، هرگاه  $u$  و  $v$  در گراف  $X$  با هم مجاور بوده و  $g' = \phi(a)g$  به طوری که  $a = (u, v) \in A(X)$ .

به وضوح تحت تابع تصویر  $p : X \times_{\phi} K \rightarrow X$ ، گراف  $X \times_{\phi} K$  پوششی برای گراف  $X$  خواهد بود. اکنون بررسی می شود که آیا گراف  $X \times_{\phi} K$  یک  $K$ -پوشش برای گراف  $X$  است یا خیر؟ با تعریف کردن ضابطه  $(u, g')^g = (u, g'g)$  برای هر  $g \in K$  و  $(u, g') \in V(X \times_{\phi} K)$ ، زیرگروهی از  $\text{Aut}(X \times_{\phi} K)$  می شود، به طوری که روی مجموعه رئوس  $V(X \times_{\phi} K)$  به صورت نیم منظم عمل می کند. با تعریف کردن این ضابطه شرایط برای  $K$ -پوشش بودن برقرار می شود. بنابراین گراف  $X \times_{\phi} K$  یک  $K$ -پوشش برای گراف  $X$  است.

برای هر  $uv \in E(X)$  و  $u \in V(X)$ ، مجموعه رئوس  $\{(u, g) \mid g \in K\}$  یک فیبر از  $u$  نامیده می شود. مجموعه یال های  $\{(u, g)(v, \phi(a)g) \mid g \in K\}$  فیبری از  $uv$  است که در آن  $a = (u, v) \in A(X)$  همه ی خودریختی هایی که یک فیبر را به یک فیبر برده اند، گروهی را با نام پایدارنده ی فیبر ایجاد می کند. به عکس برای هر پوشش منظم  $\bar{X}$  از  $X$  با گروه تبدیل پوششی  $K$ ، یک  $K$ -تخصیص ولتاژ موجود است. (در این جا گروه تبدیل پوششی  $K$ ، گروهی است که هر عضو آن یک فیبر را به یک فیبر می برد.)

تعریف ۲.۲. پوشش منظم  $\bar{X}$  از گراف  $X$  با تابع تصویر  $p : X \times_{\phi} K \rightarrow X$  و درخت فراگیر  $T$  از گراف  $X$  را در نظر بگیریم. تخصیص ولتاژ  $\phi$  را  $T$ -کاهشی گویند هرگاه ولتاژها روی کمان های درخت، همانی باشد.

گروس و توکر در [۱۵] اثبات کردند برای درخت فراگیر دلخواه  $T$  از گراف  $X$ ، هر پوشش منظم  $\bar{X}$  از گراف  $X$  از یک تخصیص ولتاژ  $\phi$  که  $T$ -کاهشی است بدست می آید. به وضوح برای یک تخصیص ولتاژ  $\phi$  که  $T$ -کاهشی است،  $X \times_{\phi} K$  هم بند است اگر و تنها اگر ولتاژها روی کمان های درخت متمم، گروه ولتاژ  $K$  را تولید کند [۱۶].

تعریف ۳.۲. اگر  $\alpha \in \text{Aut}(X)$  و  $\bar{\alpha} \in \text{Aut}(\bar{X})$  موجود باشند به طوری که  $\bar{\alpha}p = p\alpha$  (عمل گروه از چپ در نظر گرفته شده است)، آن گاه  $\bar{\alpha}$  یک ارتقا از  $\alpha$  است و  $\alpha$  یک تصویر از  $\bar{\alpha}$  است.

مجموعه ارتقاها زیرمجموعه ای از  $\text{Aut}(\bar{X})$  و مجموعه تصاویر این ارتقاها زیرمجموعه ای از  $\text{Aut}(X)$  است. هرگاه گراف پوششی  $\bar{X}$  هم بند باشد آن گاه گروه تبدیلات پوششی یک ارتقا از گروه بدیهی است. به عبارتی دیگر  $K = \{\bar{\alpha} \in \text{Aut}(\bar{X}) \mid p = \bar{\alpha}p\}$ . به وضوح اگر  $\bar{\alpha}$  یک ارتقا از  $\alpha$  باشد، آن گاه  $K\bar{\alpha}$  یک ارتقا از  $\alpha$  است [۱۹].

تعریف ۴.۲. فرض کنیم  $X$  یک گراف و  $\bar{X}$  پوششی از گراف  $X$  باشد. تصویر پوششی  $p : \bar{X} \rightarrow X$  کمان - انتقالی است هرگاه زیرگروه کمان - انتقالی از  $\text{Aut}(X)$  وجود داشته باشد به طوری که این زیرگروه ارتقا یابد.

تعریف ۵.۲. درخت فراگیر  $T$  از گراف  $X$  را در نظر بگیریم. هر یال را که در گراف  $X$  باشد و در درخت  $T$  نباشد، یک وتر گویند. گشت بسته  $w$  را که تنها شامل یک وتر از گراف  $X$  باشد، گشت بسته بنیادی می نامیم. به همین ترتیب دور  $w$  که تنها شامل یک وتر از گراف هم بند از تخصیص ولتاژ  $T$ -کاهشی  $X$  باشد، دور بنیادی است و با نماد  $C_{x_i}$  نشان داده می شود، که در آن  $x_i$  وتر است.

فرض کنیم  $X \times_{\phi} K \rightarrow X$  یک  $K$ -پوشش هم بند از تخصیص ولتاژ  $\phi$  که  $T$ -کاهشی است، باشد. به طور طبیعی می توان تخصیص ولتاژ روی کمان ها را به تخصیص ولتاژ روی گشت ها تعمیم داد.  $\alpha \in \text{Aut}(X)$  را در نظر بگیریم. تابع  $\tilde{\alpha}$  از مجموعه گشت های بسته ی بنیادی شروع شده از راس  $v$  متعلق به  $V(X)$ ، به توی  $K$  را که در آن

$$(\phi(C))_{\tilde{\alpha}} = \phi(C^{\alpha})$$

تعریف می کنیم.  $C$  روی همه ی گشت های بسته ی بنیادی واقع بر راس  $v$  تعریف می شود و  $\phi(C)$  و  $\phi(C^{\alpha})$  به ترتیب ولتاژها روی  $C$  و  $C^{\alpha}$  است. توجه کنید اگر  $K$  اَبلی باشد،  $\tilde{\alpha}$  به انتخاب راس بستگی ندارد و دورهای بنیادی ایجاد شده توسط کمان های درخت متمم از گراف  $X$  را می توان با گشت های بسته ی بنیادی جایگزین کرد.

فرض کنیم  $u_i$  و  $e_i$  به ترتیب رئوس و یال های گراف  $X$  باشد.  $\circ$ -زنجیرها را جمع رسمی رئوس گراف  $X$ ، به صورت  $c_0 = \sum_{a_i \in Z} a_i u_i$  و  $\circ$ -زنجیرها را جمع رسمی یال های گراف و به صورت  $c_1 = \sum_{b_i \in Z} b_i e_i$  در نظر بگیریم. مجموعه همه ی  $\circ$ -زنجیرها با  $C_0$  و مجموعه همه ی  $\circ$ -زنجیرها با  $C_1$  نشان داده می شوند. عمل گر مرزی  $\delta$  به این صورت تعریف می شود که روی راس  $u$  و یال  $e = uv$  داریم  $\delta(u) = \circ$  و  $\delta(e) = v - u$ . اگر  $\delta(c_1) = \circ \in C_0$ ،  $\delta(c_1)$  آنگاه  $c_1$  را  $\circ$ -دور می نامند.  $\circ$ -زنجیری را که مرز زنجیر دیگر باشد،  $\circ$ -مرز گویند. زیرگروه دورها و مرزهای واقع در  $C_1$  با  $Z_1$  و  $B_1$  نشان داده می شود. گروه همولوژی اول گراف  $X$  را به صورت  $H_1(X)$  نمایش می دهند. این گروه برابر است با  $\frac{B_1}{Z_1}$ .

تعریف ۶.۲. فرض کنیم  $X$  یک گراف باشد. گشت  $v_0, e_1, v_1, \dots, e_n, v_n$  را تحویل یافته گویند هرگاه شامل زیردنباله ی  $veuev$  نباشد. اگر در گشت فوق همه ی زیردنباله های  $veuev$  را حذف کنیم در انتها به یک گشت تحویل یافته می رسیم. دو گشت را هوموتوپیک گویند اگر دارای گشت های تحویل یافته ی یکسان باشند.

اگر گشت‌های تحویل‌یافته‌ی  $W_1$  و  $W_2$  در گراف  $X$  به این صورت باشد که راس انتهایی گشت  $W_1$  و راس ابتدایی  $W_2$  بر هم منطبق باشند در این صورت با قرار گرفتن دو دنباله کنار هم ضرب دو گشت تعریف می‌شود. مجموعه‌ی همه‌ی گشت‌های بسته‌ی تحویل‌یافته بر راس  $u$  با عمل ضرب تشکیل گروه اساسی گراف در  $u$  می‌دهند و با نماد  $\pi(X, u)$  نشان داده می‌شود. فرض کنیم گراف  $X$  هم‌بند باشد در این صورت گروه اساسی این گراف یک گروه آزاد است. [۱۶]

فرض کنیم گراف  $X$  هم‌بند باشد. درخت فراگیر  $T$  و راس دلخواه  $u$  را انتخاب کنید. مجموعه‌ی  $\{e_i\}$  را یال‌هایی در نظر بگیریم که روی درخت فراگیر  $T$  قرار ندارد. با انتخاب جهت مشخص برای  $e_i$  راس‌های آغازین و پایانی آن را با  $a_i$  و  $b_i$  نمایش می‌دهند. گشت تحویل‌یافته‌ی  $s_i \in \pi(X, u)$  به صورت  $N_i e_i M_i$  است که  $N_i$  گشت تحویل‌یافته از  $u$  به  $a_i$  و  $M_i$  گشت تحویل‌یافته از  $u$  به  $b_i$  است. اگر  $a_i$  برابر  $u$  و  $b_i$  برابر  $u$  باشد در این صورت به ترتیب  $N_i$  و  $M_i$  کنار گذاشته می‌شوند.

گشت تحویل‌یافته‌ی یکتای  $s_i \in \pi(X, u)$  را متناظر با یال  $e_i$  در نظر بگیرید. در این صورت گروه اساسی  $\pi(X, u)$  گروه‌ی آزاد با مجموعه‌ی مولد  $\{s_i\}$  است. اگر  $r_e$  اندازه‌ی مجموعه‌ی مولد باشد، در این صورت  $H_1(X) \cong \mathbb{Z}^{r_e}$ . [۲۳]. هم‌ریختی  $\pi(X, u) \rightarrow H_1(X)$  پوشا است و هسته‌ی آن زیرگروه جابه‌جاگر  $\pi(X, u)$  است [۱۶]. گروه همولوژی اول  $H_1(X, \mathbb{Z}_p)$  با ضرایب در  $\mathbb{Z}_p$  یک‌ریخت با  $\mathbb{Z}_p^{r_e}$  است.

### ۳ مفاهیم مقدماتی جبرخطی

اکنون مفاهیمی از جبرخطی مطرح می‌شود که در رده‌بندی گراف‌های متقارن پرکاربرد است. زیرفضا را با نماد  $\langle \rangle$  نشان می‌دهند. فرض کنیم  $W$  یک فضای برداری با بعد متناهی  $n$  روی میدان  $F$  باشد. هرگاه  $W$  دارای پایه  $\{w_1, w_2, \dots, w_n\}$  باشد، هر تبدیل خطی  $T: W \rightarrow W$  با ماتریس مربعی  $(T_{ij})$  از مرتبه  $n$  تعریف می‌شود.

تعریف ۱.۳. فرض کنیم  $W$  یک میدان برداری روی  $F$  باشد و  $T: W \rightarrow W$  یک تبدیل خطی باشد. زیرفضای  $V$  از  $W$  را که با نماد  $V \leq W$  نشان داده می‌شود، تحت  $-T$  پایا گویند، هرگاه برای هر  $v$  متعلق به  $V$ ، داشته باشیم  $Tv \in V$ .

در پیدا کردن زیرفضاهای پایا استفاده از قضیه‌ی مشکه (که یکی از قضایای پرکاربرد در جبرخطی است) بسیار سودمند است. فرض کنیم  $G$  یک گروه متناهی باشد.  $GL(W)$  گروه یک‌ریختی‌های  $W$  به  $W$  است. در این صورت نمایش خطی  $G$  در  $W$ ، یک هم‌ریختی به صورت  $G \rightarrow GL(W)$  است. در این حالت  $W$  را نمایش خطی  $G$  می‌نامند. اکنون قضیه‌ی مشکه [۶] از جبرخطی مطرح می‌شود.

قضیه ۲.۳. فرض کنیم  $G$  یک گروه متناهی روی میدان  $F$  باشد، به طوری که مشخصه میدان مرتبه گروه را عاد نکند. در این صورت هر نمایش خطی  $G$  در  $W$  کاملاً تحویل‌پذیر است، به عبارتی دیگر اگر  $U$  زیرفضای  $G$ -پایا از  $W$  باشد، آن‌گاه زیرفضای  $G$ -پایای  $V$  از  $W$  وجود دارد به طوری که  $W = U \oplus V$ .

فرض کنیم  $X$  گرافی هم‌بند و  $G$  زیرگروه  $\text{Aut}(X)$  مفروض باشند. درخت فراگیر  $T$  از گراف  $X$  را در نظر بگیرید. مجموعه کمان‌های  $\{x_1, \dots, x_r\}$  شامل دقیقاً یک کمان از هر یال  $E(X \setminus T)$  است. فرض کنیم  $B_T$  پایه متناظر با گروه همولوژی اول  $H_1(X, \mathbb{Z}_p)$  باشد که توسط  $\{x_1, \dots, x_r\}$  مشخص شده است. همچنین فرض کنیم

$$G^{*h} = \{\alpha^{*h} | \alpha \in G\} \leq GL(H_1(X, \mathbb{Z}_p))$$

که توسط عمل  $G$  روی  $H_1(X, \mathbb{Z}_p)$  القا و  $M_G \leq \mathbb{Z}_p^{r \times r}$  را ماتریس نمایش  $G^{*h}$  نسبت به پایه  $B_T$  در نظر بگیرید.  $M_G^t$  مجموعه‌ی همه‌ی ترانهاده‌های ماتریس‌های موجود در  $M_G$  است. مالنیک و هم‌کارانش در سال ۲۰۰۴ به بیان قضیه زیر پرداختند [۲۱]. این قضیه در رده‌بندی پوشش‌های آبلی مقدماتی متقارن و نیم‌متقارن گراف بسیار سودمند است.

قضیه ۳.۳. فرض کنیم  $X$  گرافی هم‌بند باشد. مجموعه کمان‌های  $\{x_1, x_2, \dots, x_r\} \subseteq A(X)$  شامل دقیقاً یک کمان از هر یال  $E(X \setminus T)$  است. فرض کنیم  $\xi: A(X) \rightarrow \mathbb{Z}_p^{d \times 1}$  تخصیص ولتاژی از گراف  $X$  باشد به طوری که ولتاژها روی درخت فراگیر  $T$  بدیهی باشد. قرار می‌دهیم:

$$Z(\xi) = [\xi(x_1), \xi(x_2), \dots, \xi(x_r)]^t.$$

بنابراین یک زیرگروه  $G$  از  $\text{Aut}(X)$  تحت  $X$   $p\xi: \text{Cov}(X, \xi) \rightarrow X$  ارتقا می‌یابد اگر و فقط اگر زیرفضای القایی  $\langle Z(\xi) \rangle$  زیرفضاهای  $M_G^t$ -پایای  $d$ -بعدی باشد.

## ۴ ساختار گراف نائورو

گراف نائورو دوبخشی، مکعبی و دارای ۲۴ راس و ۳۶ یال است که مجموعه رئوس و یال های آن به صورت زیر است:

$$V(X) = \{0, 1, 2, 3, 4, 5, 6, 7, 8, 9, 10, 11, 12, 13, 14, 15, 16, 17, 18, 19, 20, 21, 22, 23\}$$

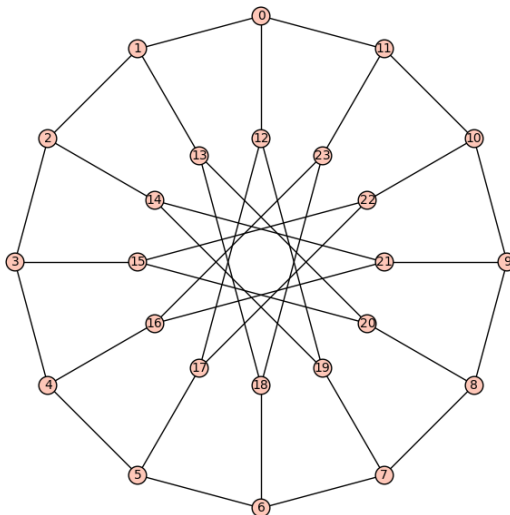
$$E(X) = \{\{0, 1\}, \{0, 11\}, \{0, 12\}, \{1, 2\}, \{1, 13\}, \{2, 3\}, \{2, 14\}, \{3, 4\}, \{3, 15\}, \{4, 5\}, \{4, 16\}, \{5, 6\}, \{5, 17\}, \{6, 7\}, \{6, 18\}, \{7, 8\}, \{8, 9\}, \{9, 10\}, \{10, 11\}, \{11, 12\}, \{12, 13\}, \{13, 14\}, \{14, 15\}, \{15, 16\}, \{16, 17\}, \{17, 18\}, \{18, 19\}, \{19, 20\}, \{20, 21\}, \{21, 22\}, \{22, 23\}, \{12, 19\}, \{13, 18\}, \{13, 20\}, \{14, 19\}, \{14, 21\}, \{15, 20\}, \{15, 22\}, \{16, 21\}, \{16, 23\}, \{17, 22\}, \{18, 23\}\}.$$

$\alpha, \beta$  و  $\gamma$  را به عنوان خودریختی های این گراف در نظر بگیرید. بنابراین  $\text{Aut}(X) = \langle \alpha, \gamma, \beta \rangle$  و مرتبه ی آن ۱۴۴ است.

$$\alpha = (1, 11)(2, 10)(3, 9)(4, 8)(5, 7)(13, 23)(14, 22)(15, 21)(16, 20)(17, 19),$$

$$\beta = (1, 11, 12)(2, 23, 17)(3, 16, 5)(6, 15, 21)(7, 20, 9)(10, 19, 13)(14, 18, 22),$$

$$\gamma = (0, 1, 2, 3, 4, 5, 6, 7, 8, 9, 10, 11)(12, 13, 14, 15, 16, 17, 18, 19, 20, 21, 22, 23).$$



با استفاده از نرم افزار سیج [۱] می توان دید که این گراف دقیقا دو زیرگروه سره متقارن دارد که مرتبه ی آن ۷۲ است. یکی از این زیرگروه های متقارن برابر است با  $G = \langle \gamma^{11}, \beta^2 \rangle$ . اکنون به ترتیب درخت فراگیر و کمان های درخت متمم با کمک نرم افزار سیج نمایش داده می شود.

$$\{1, 0\}, \{11, 0\}, \{12, 0\}, \{1, 2\}, \{1, 13\}, \{2, 3\}, \{2, 14\}, \{3, 4\}, \{3, 15\}, \{4, 5\}, \{4, 16\}, \{5, 6\}, \{5, 17\}, \{6, 7\}, \{6, 18\}, \{7, 8\}, \{7, 19\}, \{8, 9\}, \{8, 20\}, \{9, 10\}, \{9, 11\}, \{10, 12\}, \{11, 13\}, \{12, 14\}, \{13, 15\}, \{14, 16\}, \{15, 17\}, \{16, 18\}, \{17, 19\}, \{18, 20\}, \{19, 21\}, \{20, 22\}, \{21, 23\}, \{22, 23\}.$$

$$x_0 = (10, 11), x_1 = (14, 21), x_2 = (15, 20), x_3 = (15, 22), x_4 = (16, 21), x_5 = (16, 23), x_6 = (17, 22), x_7 = (18, 23), x_8 = (12, 17), x_9 = (12, 19), x_{10} = (13, 20), x_{11} = (13, 18), x_{12} = (14, 19).$$

## ۵ زیرفضاهای پایای گراف نائورو

در این بخش پوشش های  $p$ -آبلی مقدماتی کمان-انتقالی گراف نائورو برای زیرگروه متقارن  $G$  معرفی می شود. فرض کنیم  $X$  گراف نائورو باشد.

لم ۱.۵. فرض کنیم ترانهاده ی ماتریس ها تحت تبدیلات خطی  $\gamma^{*h}$  و  $\beta^{*h}$  نسبت به  $\{C_{x_i} | 0 \leq i \leq 12\}$  پایه مرتب استاندارد  $H^1(X, \mathbb{Z}_p)$  با درخت فراگیر  $T$  و کمان های درخت متمم  $x_i (i = 0, \dots, 12)$  به ترتیب  $C$  و  $B$  باشند. در این صورت

$$C = \begin{pmatrix} 1 & 0 & 0 & 0 & 0 & 0 & 0 & 0 & 0 & 0 & 0 & 0 & 0 & 0 & 0 \\ 0 & 1 & 0 & 0 & 0 & 0 & 0 & 0 & 0 & 0 & 0 & 0 & 0 & 0 & 0 \\ 0 & 0 & 1 & 0 & 0 & 0 & 0 & 0 & 0 & 0 & 0 & 0 & 0 & 0 & 0 \\ 0 & 0 & 0 & 1 & 0 & 0 & 0 & 0 & 0 & 0 & 0 & 0 & 0 & 0 & 0 \\ 0 & 0 & 0 & 0 & 1 & 0 & 0 & 0 & 0 & 0 & 0 & 0 & 0 & 0 & 0 \\ 0 & 0 & 0 & 0 & 0 & 1 & 0 & 0 & 0 & 0 & 0 & 0 & 0 & 0 & 0 \\ 0 & 0 & 0 & 0 & 0 & 0 & 1 & 0 & 0 & 0 & 0 & 0 & 0 & 0 & 0 \\ 0 & 0 & 0 & 0 & 0 & 0 & 0 & 1 & 0 & 0 & 0 & 0 & 0 & 0 & 0 \\ 0 & 0 & 0 & 0 & 0 & 0 & 0 & 0 & 1 & 0 & 0 & 0 & 0 & 0 & 0 \\ 0 & 0 & 0 & 0 & 0 & 0 & 0 & 0 & 0 & 1 & 0 & 0 & 0 & 0 & 0 \\ 0 & 0 & 0 & 0 & 0 & 0 & 0 & 0 & 0 & 0 & 1 & 0 & 0 & 0 & 0 \\ 0 & 0 & 0 & 0 & 0 & 0 & 0 & 0 & 0 & 0 & 0 & 1 & 0 & 0 & 0 \\ 0 & 0 & 0 & 0 & 0 & 0 & 0 & 0 & 0 & 0 & 0 & 0 & 1 & 0 & 0 \\ 0 & 0 & 0 & 0 & 0 & 0 & 0 & 0 & 0 & 0 & 0 & 0 & 0 & 1 & 0 \\ 0 & 0 & 0 & 0 & 0 & 0 & 0 & 0 & 0 & 0 & 0 & 0 & 0 & 0 & 1 \end{pmatrix},$$

$$B = \begin{pmatrix} 0 & 0 & 1 & 0 & 0 & -1 & 0 & 0 & -1 & 0 & 0 & 0 & 0 & 0 & 0 \\ 0 & 0 & -1 & 0 & 0 & 1 & 0 & 0 & -1 & 0 & 0 & 0 & 0 & 0 & 0 \\ 0 & -1 & -1 & 0 & 1 & 0 & 0 & 0 & 0 & 0 & 0 & 0 & 0 & 0 & 1 \\ 0 & 0 & -1 & 0 & 0 & 0 & 0 & 0 & -1 & 0 & 0 & 0 & 0 & 0 & 0 \\ 0 & 0 & -1 & 0 & 0 & 0 & -1 & 0 & 0 & -1 & 0 & 0 & 0 & 0 & 1 \\ 0 & 0 & 0 & 1 & 0 & -1 & -1 & 0 & -1 & 0 & 0 & 0 & 0 & 0 & 0 \\ 0 & 0 & 0 & 0 & 1 & 0 & 0 & 0 & 0 & 0 & 0 & 0 & 0 & 0 & 0 \\ 0 & 0 & -1 & 0 & 0 & 1 & 0 & 0 & 0 & 0 & 1 & 0 & 0 & 0 & 0 \\ 0 & -1 & -1 & 0 & 0 & 1 & 0 & 0 & 0 & 0 & 0 & 0 & 0 & 0 & 0 \\ -1 & 0 & 0 & -1 & 0 & 1 & 0 & 0 & 0 & 0 & 0 & 0 & 0 & 0 & 0 \\ -1 & 0 & 0 & -1 & 0 & 1 & 0 & 0 & -1 & 0 & 0 & 1 & -1 & 0 & 0 \end{pmatrix}.$$

اثبات. سطرهای این ماتریس‌ها با استفاده از اثر خودریختی  $\gamma$  و  $\beta$  روی  $B_T$  به دست می آید. برای نمونه جایگشت  $\gamma$  دور  $[0, 1, 2, 3, 4, 5, 6, 7, 8, 9, 10, 11, 0]$  متناظر با  $x_0$  را به دور  $[1, 2, 3, 4, 5, 6, 7, 8, 9, 10, 11, 0]$  می نگارد. این دور متناظر با دور پایه  $x_0$  است. بنابراین سطر اول ماتریس  $C$  به صورت زیر است:

$$(1, 0, 0, 0, 0, 0, 0, 0, 0, 0, 0, 0, 0, 0, 0).$$

□

با ادامه‌ی این روند می توان تمامی سطرهای ماتریس‌های  $C$  و  $B$  را محاسبه نمود.

با استفاده از نرم افزار سیج می توان دید:

لم ۲.۵. چندجمله‌ای مینیمال ماتریس‌های  $H = C^{11}$  و  $S = B^2$  به ترتیب به صورت زیرند:

$$m_S(x) = x^3 - 1, \quad m_H(x) = x^{12} - 1,$$

فرض کنیم  $p$  یک عدد اول باشد و  $\xi$  دوازدهمین ریشه‌ی اولیه واحد باشد. در این صورت چندجمله‌ای مینیمال  $m_H(x)$  به صورت زیر

تجزیه می شود:

$$m_H(x) = (x^2 + x + 1)^4 (x + 1)^4 \quad p = 2 \quad (1)$$

$$p = 3 \quad (2) \quad \text{بنابراین } m_H(x) \text{ به صورت } (x - 1)^3 (x^2 + 1)^3 (x + 1)^3 \text{ تجزیه می شود.}$$

$$p \equiv 1 \pmod{12} \quad (3) \quad \text{بنابراین } \xi \in \mathbb{Z}_p \text{ و } m_H(x) \text{ به عامل های خطی } \prod_{j=0}^{11} (x - \xi^j) \text{ تجزیه می شود.}$$

$$p \equiv 5 \pmod{12} \quad (4) \quad \text{چندجمله‌ای } m_H(x) \text{ به صورت زیر است:}$$

$$(x - 1) (x - \xi^3) (x + 1) (x - \xi^9) ((x - \xi^4) (x - \xi^8)) ((x - \xi^2) (x - \xi^{10})) ((x - \xi) (x - \xi^6)) ((x - \xi^7) (x - \xi^{11})).$$

$$p \equiv 7 \pmod{12} \quad (5) \quad \text{بنابراین}$$

$$m_H(x) = (x - \xi^2) (x - \xi^4) (x + 1) (x - \xi^8) (x - \xi^{10}) ((x - \xi) (x - \xi^6)) ((x - \xi^3) (x - \xi^9)) ((x - \xi^5) (x - \xi^{11})).$$

$$p \equiv 11 \pmod{12} \quad (6) \quad \text{بنابراین } m_H(x) \text{ به صورت}$$

$$(x - 1) (x + 1) ((x - \xi^3) (x - \xi^9)) ((x - \xi^4) (x - \xi^8)) ((x - \xi^2) (x - \xi^{10})) ((x - \xi^5) (x - \xi^7)) ((x - \xi) (x - \xi^{11}))$$

تجزیه می شود.

برای پیدا کردن  $\langle S, H \rangle$ -زیرفضاهای پایا روی  $\mathbb{Z}_p$  کافی است  $S$  و  $H$  را ماتریس‌هایی روی میدان شکافنده‌ی  $\mathbb{Z}_p(\xi)$  در نظر گرفت. چون هر زیرفضای پایا روی  $\mathbb{Z}_p$  مجموع زیرفضاهای پایای مینیمال روی  $\mathbb{Z}_p(\xi)$  است.

با استفاده از نرم افزار سیج می توان دید:

$$\begin{aligned} \ker(H - \xi^r I) &= \langle u_3 \rangle, & \ker(H - \xi I) &= \langle u_7 \rangle, & \ker(H - I) &= \langle u_0, u_1 \rangle, \\ \ker(H - \xi^{\Delta} I) &= \langle u_6 \rangle, & \ker(H - \xi^{\Delta} I) &= \langle u_5 \rangle, & \ker(H - \xi^r I) &= \langle u_4 \rangle, \\ \ker(H - \xi^{\Delta} I) &= \langle u_9 \rangle, & \ker(H - \xi^r I) &= \langle u_8 \rangle, & \ker(H - \xi^{\Delta} I) &= \langle u_7 \rangle, \\ \ker(H + I) &= \langle u_{12} \rangle, & \ker(H - \xi^r I) &= \langle u_{11} \rangle, & \ker(H - \xi^{\Delta} I) &= \langle u_{10} \rangle, \end{aligned}$$

به طوری که

$$\begin{aligned} u_0 &= [-1, 1, 0, 1, 0, 0, -1, 0, 1, 1, 0, 0]^t, \\ u_1 &= [-1, 0, 1, 0, 1, -1, 1, 0, 1, 0, 0, 1]^t, \\ u_2 &= [0, \xi - \xi^r, \xi - \xi^r, 1 - \xi^r, 1 - \xi^r, -\xi^r, -\xi^r, -\xi^r, \xi^r, \xi, 1, \xi, 1]^t, \\ u_3 &= [0, \xi^r, -\xi^r, \frac{1}{\xi^r}, -\frac{1}{\xi^r}, -1, 1, -\xi^r, -\xi^r, \frac{1}{\xi^r}, -1, -\frac{1}{\xi^r}, 1]^t, \\ u_4 &= [0, -\frac{1}{\xi^r}, \frac{1}{\xi^r}, \xi^r, -\xi^r, 1, -1, -\xi^r, -\frac{1}{\xi^r}, -\xi^r, -1, \xi^r, 1]^t, \\ u_5 &= [0, -\xi^r, -\xi^r, -1, -1, \xi^r, \xi^r, 1, -1, \xi^r, 1, \xi^r, 1]^t, \\ u_6 &= [0, \frac{1}{\xi^r}, -\frac{1}{\xi^r}, \frac{1}{\xi^r} - \frac{1}{\xi}, 1 - \frac{1}{\xi^r}, 1 - \frac{1}{\xi^r}, \frac{1}{\xi^r}, \frac{1}{\xi^r}, -\frac{1}{\xi^r}, \frac{1}{\xi^r}, -\frac{1}{\xi}, 1, -\frac{1}{\xi}, 1]^t, \\ u_7 &= [0, \frac{\xi^r - 1}{\xi^r}, \frac{\xi^r - 1}{\xi^r}, 1 - \frac{1}{\xi^r}, 1 - \frac{1}{\xi^r}, -\frac{1}{\xi^r}, -\frac{1}{\xi^r}, -\frac{1}{\xi^r}, \frac{1}{\xi^r}, \frac{1}{\xi}, 1, \frac{1}{\xi}, 1]^t, \\ u_8 &= [0, \xi^r, \xi^r, -1, -1, -\xi^r, -\xi^r, 1, -1, -\xi^r, 1, -\xi^r, 1]^t, \\ u_9 &= [0, \frac{1}{\xi^r}, -\frac{1}{\xi^r}, \xi^r, -\xi^r, -1, 1, -\frac{1}{\xi^r}, -\frac{1}{\xi^r}, \xi^r, -1, -\xi^r, 1]^t, \\ u_{10} &= [0, -\xi^r, \xi^r, \frac{1}{\xi^r}, -\frac{1}{\xi^r}, 1, -1, -\frac{1}{\xi^r}, -\xi^r, -\frac{1}{\xi^r}, -1, \frac{1}{\xi^r}, 1]^t, \\ u_{11} &= [0, \xi(\xi^r - 1), \xi(\xi^r - 1), 1 - \xi^r, 1 - \xi^r, \xi^r, \xi^r, -\xi^r, \xi^r, -\xi, 1, -\xi, 1]^t, \\ u_{12} &= [0, 1, -1, -1, 1, 1, -1, 1, 1, -1, -1, 1]^t. \end{aligned}$$

در ادامه ی روند اثبات کافی است اثر ماتریس  $S$  را روی بردارهای  $u_i, 0 \leq i \leq 12$  بررسی کنیم.

$$\begin{aligned} Su_0 &= \frac{1}{\xi} u_0 + \frac{1}{\xi} u_1 - \frac{1}{\xi} u_{12} + \frac{\xi^r}{\xi} u_8 - \frac{\xi^r}{\xi} u_5, \\ Su_1 &= -u_0 - u_1 + u_{12} - \frac{\xi^r}{\xi} u_8 + \frac{\xi^r}{\xi} u_5, \\ Su_2 &= \frac{-\xi^{-1}}{\xi} u_2 + \frac{(\xi^r - \xi^r - \xi + 1)}{\xi} u_3 + \frac{(\xi^r - 2\xi^r + 2\xi - 1)}{\xi} u_{11}, \\ Su_3 &= \frac{(-\xi^r + \xi^r - \xi + 1)}{\xi} u_2 + \frac{(-\xi^r - \xi^r + \xi + 1)}{\xi} u_{11}, \\ Su_4 &= -\xi^r u_4, \\ Su_5 &= 2u_0 + u_1 + \frac{\xi^r}{\xi} u_8 + \frac{\xi^r}{\xi} u_5, \\ Su_6 &= \frac{\xi}{\xi} u_6 + \frac{(-2\xi^r - 4\xi - 4)}{\xi} u_7 + \frac{(-\xi^r - 2\xi^r + \xi)}{\xi} u_9, \\ Su_7 &= \frac{(-\xi^r - 2 + 2\xi)}{\xi} u_6 - \frac{\xi}{\xi} u_7 + \frac{(-\xi^r + 2\xi^r - \xi)}{\xi} u_9, \\ Su_8 &= 2u_0 + u_1 - \frac{\xi^r}{\xi} u_8 - \frac{\xi^r}{\xi} u_5, \\ Su_9 &= \frac{(\xi^r - \xi + 2)}{\xi} u_6 + \frac{(\xi^r + \xi + 2)}{\xi} u_7, \\ Su_{10} &= -\xi^{-2} u_{10}, \\ Su_{11} &= \frac{(\xi^r + 2\xi^r - 2\xi - 1)}{\xi} u_2 + \frac{(\xi^r + \xi^r + \xi + 1)}{\xi} u_3 + \frac{\xi^{-1}}{\xi} u_{11}, \\ Su_{12} &= -\frac{r}{\xi} u_0 - \frac{r}{\xi} u_1 - \frac{1}{\xi} u_{12}. \end{aligned}$$

فرض کنیم  $V = \langle u_0, u_1, u_{12} \rangle$  -زیرفضای پایای مینیمال باشد،

$$V_2 = \langle u_2, u_3, u_4, u_5, u_6, u_7, u_8, u_9, u_{10}, u_{11} \rangle$$

روی میدان  $\mathbb{Z}_p(\xi)$  باشد.

فرض کنیم  $V \cap V_2 = 0$ . بنابراین  $V \leq V_1$  علاوه بر این

$$V \leq \langle u_0, u_1, u_{12} \rangle \cap S \langle u_0, u_1, u_{12} \rangle.$$

فرض کنیم برای  $c_0, c_1, c_2 \in \mathbb{Z}_p(\xi)$   $c_0 Su_0 + c_1 Su_1 + c_2 Su_{12} \in \langle u_0, u_1, u_{12} \rangle$ . بنابراین

$$u_0 \left( \frac{c_0}{\xi} - c_1 - \frac{rc_2}{\xi} \right) + u_1 \left( \frac{c_0}{\xi} - c_1 - \frac{rc_2}{\xi} \right) + u_{12} \left( -\frac{c_0}{\xi} + c_1 - \frac{c_2}{\xi} \right) + u_8 \left( \frac{c_0}{\xi} \xi^r - \frac{c_1}{\xi} \xi^r \right) - u_5 \left( \frac{c_0}{\xi} \xi^r - \frac{c_1}{\xi} \xi^r \right) \in \langle u_0, u_1, u_{12} \rangle.$$

بنابراین  $c_0 = c_1$  زیرا  $u_8$  و  $u_5$  مستقل خطی اند. در نتیجه،

$$\langle u_0, u_1, u_{12} \rangle \cap S\langle u_0, u_1, u_{12} \rangle = \{u_0(-\frac{c_0}{\zeta} - \frac{\zeta c_2}{\zeta}) + u_1(-\frac{c_0}{\zeta} - \frac{\zeta c_2}{\zeta}) + u_{12}(\frac{c_0}{\zeta} - \frac{c_2}{\zeta}) | c_0, c_2 \in \mathbb{Z}_p(\xi)\}.$$

اگر  $\frac{c_0}{\zeta} - \frac{c_2}{\zeta} = 0$ ، آن گاه  $c_0 = c_2$  و  $u_0 + u_1 \in V$  و  $u_{12} \in V$  داریم،  $S(u_0 + u_1)$  با در نظر گرفتن  $u_{12} \in V$  و  $u_0 + u_1 \in V$  از رابطه  $S(u_{12}), u_0 + u_1 \in V$  و با  $V = W_1 = \langle u_0 + u_1, u_{12} \rangle$ ،  $S(u_0 + u_1)$  داریم.

اکنون فرض کنیم که اشتراک  $V$  و  $V_2$  غیربديهی باشد. بنابراین  $V$  باید شامل یکی از  $H$ -زیرفضاهای پایای مبنیمال در  $V_2$  باشد که زیرفضاهای ۱-بعدی از فضاهای  $\langle u_2 \rangle, \langle u_3 \rangle, \langle u_4 \rangle, \langle u_5 \rangle, \langle u_6 \rangle, \langle u_7 \rangle, \langle u_8 \rangle, \langle u_9 \rangle, \langle u_{10} \rangle$  و  $\langle u_{11} \rangle$  اند. بنابراین حالات زیر را در نظر بگیرید.

حالت اول:  $u_2 \in V$ . فرض کنیم  $u_2 \in V$  بنابراین  $Su_2 \in V$ ، از این رو  $u_2, u_3, u_{11} \in V$  با در نظر گرفتن  $Su_2, Su_3$  و  $Su_{11}$ ، می توان دید

$$V = W_2 = \langle u_2, u_3, u_{11} \rangle.$$

حالت دوم:  $u_3 \in V$ .

فرض کنیم  $u_3 \in V$  بنابراین  $Su_3 \in V$  بنابراین  $u_2 \in V$  بنا بر حالت اول،  $V = W_2$ .

حالت سوم:  $u_4 \in V$ .

فرض کنیم  $u_4 \in V$  بنابراین  $Su_4 = -\xi^2 u_4$  بنابراین  $u_4 \in V$  بنا بر این  $V = W_3 = \langle u_4 \rangle$ .

حالت چهارم:  $u_5 \in V$ .

فرض کنیم  $u_5 \in V$  بنابراین  $u_5 \in V$  بنا بر این  $Su_5 = 2u_0 + u_1 + \frac{\xi^r}{\zeta} u_8 + \frac{\xi^r}{\zeta} u_5 \in V$  و بنا بر این نتیجه می دهد  $u_5, u_8, u_{11} \in V$  با در نظر گرفتن  $S(2u_0 + u_1), Su_5$  و  $Su_8$ .

$$V = W_4 = \langle 2u_0 + u_1, u_5, u_8 \rangle.$$

حالت پنجم:  $u_6 \in V$ .

فرض کنیم  $u_6 \in V$  بنابراین  $Su_6 \in V$ ، نشان می دهد  $u_6, u_7, u_9 \in V$  با در نظر گرفتن  $Su_6, Su_7$  و  $Su_9$  می توان دید

$$V = W_5 = \langle u_6, u_7, u_9 \rangle.$$

حالت ششم:  $u_7 \in V$ .

فرض کنیم  $u_7 \in V$  بنابراین  $u_7 \in V$  بنا بر این  $Su_7 = \frac{(-\xi^r - 2 + 2\xi)}{\zeta} u_6 - \frac{\xi}{\zeta} u_7 + \frac{(-\xi^r + 2\xi^r - \xi)}{\zeta} u_9 \in V$  و در نتیجه  $u_6 \in V$  طبق حالت پنجم،  $V = W_5$ .

حالت هفتم:  $u_8 \in V$ .

فرض کنیم  $u_8 \in V$  بنابراین  $Su_8 \in V$  با در نظر گرفتن  $Su_8, u_5 \in V$  و بنا بر حالت چهارم  $V = W_4$ .

حالت هشتم:  $u_9 \in V$ .

فرض کنیم  $u_9 \in V$  بنابراین  $Su_9 \in V$  که نتیجه می دهد  $u_6 \in V$  بنا بر حالت پنجم،  $V = W_5$ .

حالت نهم:  $u_{10} \in V$ .

$u_{10} \in V$  را در نظر بگیرید. بنابراین  $Su_{10} = \xi^{-2} u_{10}$  بنا بر این

$$V = W_6 = \langle u_{10} \rangle.$$

حالت دهم:  $u_{11} \in V$ . فرض کنیم  $u_{11} \in V$  بنا بر این  $Su_{11} = \frac{(\xi^r + 2\xi^r - 2\xi - 1)}{\zeta} u_2 + \frac{(\xi^r + \xi^r + \xi + 1)}{\zeta} u_3 + \frac{\xi^{-1}}{\zeta} u_{11} \in V$  بنا بر این  $u_2, u_3 \in V$  و  $u_{11} \in V$  در نتیجه  $V = W_2$ ، اکنون با استفاده از قضیه ی مشکه لم زیر مطرح می شود.

لم ۳.۵. همه ی  $\langle S, H \rangle$ -زیرفضاهای پایای غیربديهی روی میدان شکافنده ی  $\mathbb{Z}_p(\xi)$ ، به صورت زیرند:

$$W_1 = \langle u_0 + u_1, u_{12} \rangle,$$

$$W_2 = \langle u_2, u_3, u_{11} \rangle,$$

$$W_3 = \langle u_4 \rangle,$$

$$W_4 = \langle 2u_0 + u_1, u_5, u_8 \rangle,$$

$$W_5 = \langle u_6, u_7, u_9 \rangle,$$

$$W_6 = \langle u_{10} \rangle,$$

$$W_7 = \langle u_0 + u_1, u_{12}, u_2, u_3, u_{11} \rangle,$$



$$\begin{aligned}
W_{\lambda} &= \langle u_0 + u_1, u_{12}, u_4 \rangle, \\
W_9 &= \langle u_0, u_1, u_{12}, u_5, u_8 \rangle, \\
W_{10} &= \langle u_0 + u_1, u_{12}, u_6, u_7, u_9 \rangle, \\
W_{11} &= \langle u_0 + u_1, u_{12}, u_{10} \rangle, \\
W_{12} &= \langle u_2, u_3, u_{11}, u_4 \rangle, \\
W_{13} &= \langle u_2, u_3, u_{11}, \Psi u_0 + u_1, u_5, u_8 \rangle, \\
W_{14} &= \langle u_2, u_3, u_{11}, u_6, u_7, u_9 \rangle, \\
W_{15} &= \langle u_2, u_3, u_{11}, u_{10} \rangle, \\
W_{16} &= \langle u_4, \Psi u_0 + u_1, u_5, u_8 \rangle, \\
W_{17} &= \langle u_4, u_6, u_7, u_9 \rangle, \\
W_{18} &= \langle u_4, u_{10} \rangle, \\
W_{19} &= \langle \Psi u_0 + u_1, u_5, u_8, u_6, u_7, u_9 \rangle, \\
W_{20} &= \langle \Psi u_0 + u_1, u_5, u_8, u_{10} \rangle, \\
W_{21} &= \langle u_6, u_7, u_9, u_{10} \rangle, \\
W_{22} &= \langle u_0, u_1, u_{12}, u_4, u_5, u_8 \rangle, \\
W_{23} &= \langle u_0 + u_1, u_{12}, u_2, u_3, u_{11}, u_4 \rangle, \\
W_{24} &= \langle u_0, u_1, u_{12}, u_2, u_3, u_{11}, u_5, u_8 \rangle, \\
W_{25} &= \langle u_0 + u_1, u_{12}, u_2, u_3, u_{11}, u_6, u_7, u_9 \rangle, \\
W_{26} &= \langle u_0 + u_1, u_{12}, u_2, u_3, u_{11}, u_{10} \rangle, \\
W_{27} &= \langle \Psi u_0 + u_1, u_5, u_8, u_4, u_{10} \rangle, \\
W_{28} &= \langle u_0 + u_1, u_{12}, u_6, u_7, u_9, u_4 \rangle, \\
W_{29} &= \langle u_0 + u_1, u_{12}, u_4, u_{10} \rangle, \\
W_{30} &= \langle u_0, u_1, u_{12}, u_5, u_8, u_6, u_7, u_9 \rangle, \\
W_{31} &= \langle u_0, u_1, u_{12}, u_5, u_8, u_{10} \rangle, \\
W_{32} &= \langle u_0 + u_1, u_{12}, u_{10}, u_6, u_7, u_9 \rangle, \\
W_{33} &= \langle u_2, u_3, u_{11}, \Psi u_0 + u_1, u_5, u_8, u_4 \rangle, \\
W_{34} &= \langle u_2, u_3, u_{11}, u_6, u_7, u_9, u_4 \rangle, \\
W_{35} &= \langle u_2, u_3, u_{11}, u_4, u_{10} \rangle, \\
W_{36} &= \langle \Psi u_0 + u_1, u_5, u_8, u_4, u_6, u_7, u_9 \rangle, \\
W_{37} &= \langle \Psi u_0 + u_1, u_5, u_8, u_6, u_7, u_9, u_{10} \rangle, \\
W_{38} &= \langle u_4, u_{10}, u_6, u_7, u_9 \rangle, \\
W_{39} &= \langle u_2, u_3, u_{11}, u_6, u_7, u_9, u_{10} \rangle, \\
W_{40} &= \langle u_2, u_3, u_{11}, u_{10}, \Psi u_0 + u_1, u_5, u_8 \rangle, \\
W_{41} &= \langle u_2, u_3, u_{11}, u_{10}, \Psi u_0 + u_1, u_5, u_8, u_6, u_7, u_9 \rangle, \\
W_{42} &= \langle u_0, u_1, u_{12}, u_5, u_8, u_4, u_6, u_7, u_9 \rangle, \\
W_{43} &= \langle u_0, u_1, u_{12}, u_5, u_8, u_4, u_{10} \rangle, \\
W_{44} &= \langle u_2, u_3, u_{11}, \Psi u_0 + u_1, u_5, u_8, u_4, u_{10} \rangle, \\
W_{45} &= \langle u_2, u_3, u_{11}, u_6, u_7, u_9, u_4, u_{10} \rangle, \\
W_{46} &= \langle u_0 + u_1, u_{12}, u_2, u_3, u_{11}, u_4, u_{10} \rangle, \\
W_{47} &= \langle u_0, u_1, u_{12}, u_5, u_8, u_4, u_2, u_3, u_{11} \rangle, \\
W_{48} &= \langle u_0, u_1, u_{12}, u_5, u_8, u_6, u_7, u_9, u_{10} \rangle, \\
W_{49} &= \langle u_0 + u_1, u_{12}, u_2, u_3, u_{11}, u_6, u_7, u_9 \rangle, \\
W_{50} &= \langle u_2, u_3, u_{11}, u_6, u_7, u_9, \Psi u_0 + u_1, u_5, u_8, u_{10} \rangle, \\
W_{51} &= \langle u_2, u_3, u_{11}, u_4, u_6, u_7, u_9, \Psi u_0 + u_1, u_5, u_8 \rangle, \\
W_{52} &= \langle u_2, u_3, u_{11}, u_{10}, u_0 + u_1, u_{12}, u_4 \rangle, \\
W_{53} &= \langle \Psi u_0 + u_1, u_5, u_8, u_4, u_6, u_7, u_9, u_{10} \rangle, \\
W_{54} &= \langle u_0 + u_1, u_{12}, u_6, u_7, u_9, u_4, u_{10} \rangle, \\
W_{55} &= \langle u_0, u_1, u_5, u_8, u_{12}, u_6, u_7, u_9 \rangle, \\
W_{56} &= \langle u_0, u_1, u_{12}, u_5, u_8, u_6, u_7, u_9, u_{10} \rangle, \\
W_{57} &= \langle u_2, u_3, u_{11}, u_4, u_6, u_7, u_9, \Psi u_0 + u_1, u_5, u_8, u_{10} \rangle, \\
W_{58} &= \langle u_2, u_3, u_{11}, u_0, u_1, u_5, u_8, u_{12}, u_4, u_{10} \rangle, \\
W_{59} &= \langle u_0, u_1, u_{12}, u_5, u_8, u_4, u_6, u_7, u_9, u_{10} \rangle, \\
W_{60} &= \langle u_0 + u_1, u_{12}, u_6, u_7, u_9, u_4, u_{10}, u_2, u_3, u_{11} \rangle, \\
W_{61} &= \langle u_0, u_1, u_{12}, u_8, u_4, u_6, u_7, u_9, u_2, u_3, u_{11} \rangle, \\
W_{62} &= \langle u_0, u_1, u_{12}, u_8, u_{10}, u_6, u_7, u_9, u_2, u_3, u_{11} \rangle.
\end{aligned}$$

در پایان، پایه‌ها برای زیرفضاهای  $W_i$ ،  $2 \leq i \leq 62$  طوری تغییر می‌کند تا به‌توان  $\xi$  را حذف کرد. بنابراین در راستای تحقق این هدف، قضیه‌ی زیر مطرح می‌شود.

قضیه ۴.۵. همهی  $\langle S, H \rangle$ -زیرفضاهای پایای غیربدیهی روی میدان شکافندهی  $\mathbb{Z}_p$  به صورت زیرند:

$$\begin{aligned} W_1, \\ S_1 &= \langle 2u_0 + u_1, k_1, k_2 \rangle, \\ S_2 &= \langle u_0, u_1, u_{12}, k_1, k_2 \rangle, \\ S_3 &= \langle k_3, k_4 \rangle, \\ S_4 &= \langle u_0 + u_1, u_{12}, k_3, k_4 \rangle, \\ S_5 &= \langle 2u_0 + u_1, k_3, k_4, k_1, k_2 \rangle, \\ S_6 &= \langle u_0, u_1, u_{12}, k_1, k_2, k_3, k_4 \rangle, \end{aligned}$$

که

$$\begin{aligned} k_1 &= [0, -2, -2, 0, 0, 2, 2, 0, 0, 2, 0, 2, 0]^t, \\ k_2 &= [0, 2, 2, -2, -2, -2, -2, 2, -2, -2, 2, -2, 2]^t, \\ k_3 &= [0, -1, 1, 0, 0, 1, -1, 0, -1, 0, -1, 0, 1]^t, \\ k_4 &= [0, 1, -1, 2, -2, 1, -1, -2, 1, -2, -1, 2, 1]^t. \end{aligned}$$

اثبات. ابتدا نشان می‌دهیم  $W_4, W_9, W_{27}, W_{18}, W_9, W_4, W_4$  و  $\langle H, S \rangle$ -زیرفضاهای پایا روی  $\mathbb{Z}_p$  هستند.  $k_3 = \frac{1}{3}((- \xi^2 + 2)u_4 + (\xi^2 + 1)u_{10})$ ,  $k_2 = \xi^3 u_8 - \xi^3 u_5$ ,  $k_1 = (-\xi^3 + 1)u_8 + (\xi^3 + 1)u_5$  و  $k_4 = \xi^2 u_4 + (1 - \xi^2)u_{10}$ .  $S_4, S_3, S_2, S_1, \langle u_4, u_{10} \rangle = \langle k_3, k_4 \rangle$  و  $\langle u_5, u_8 \rangle = \langle k_1, k_2 \rangle$  چون  $k_4 = \xi^2 u_4 + (1 - \xi^2)u_{10}$ .  $S_5$  و  $S_6$  و  $\langle H, S \rangle$  زیرفضاهای پایا روی  $\mathbb{Z}_p$  هستند. اکنون نشان داده می‌شود اگر  $p \not\equiv 1 \pmod{12}$  آن‌گاه  $\langle H, S \rangle$ -پایا روی  $\mathbb{Z}_p$  است. فرض کنیم برای  $a_i, b_i, c_i \in \mathbb{Z}_p(\xi)$   $0 \leq i \leq 3$  به طوری که

$$(a_0, a_1, a_2, a_3, b_0, b_1, b_2, b_3, c_0, c_1, c_2, c_3) \neq (0, 0, 0, 0, 0, 0, 0, 0, 0, 0, 0, 0)$$

قرار می‌دهیم  $\sum_{i=0}^3 a_i \xi^i u_2 + b_i \xi^i u_3 + c_i \xi^i u_{11} \in \mathbb{Z}_p^{12}$  با در نظر گرفتن مؤلفه‌های  $\sum_{i=0}^3 a_i \xi^i u_2 + b_i \xi^i u_3 + c_i \xi^i u_{11} \in \mathbb{Z}_p^{12}$  می‌توان دید  $a_i, b_i, c_i \in \mathbb{Z}_p$  به طوری که  $\sum_{i=0}^3 a_i \xi^i u_2 + b_i \xi^i u_3 + c_i \xi^i u_{11} \in \mathbb{Z}_p^{12}$  وجود ندارد. با روشی مشابه می‌توان نشان داد بقیه‌ی زیرفضاها روی  $\mathbb{Z}_p \langle H, S \rangle$ -پایا نیستند.  $\square$

یادآوری می‌شود که برای  $p = 2, 3$  قضیه‌ی مشکه را نمی‌توان به کار برد، در این حالت می‌توان با استفاده از الگوریتم یافتن زیرفضاهای پایا در نرم افزار سیج، زیرفضاهای پایا را بدست آورد. البته بدلیل زیاد بودن، این زیرفضاها در مقاله معرفی نشد. اکنون با توجه به توضیحات بالا قضیه زیر نتیجه می‌شود.

قضیه ۵.۵. فرض کنیم  $p$  یک عدد اول باشد و  $\overline{X}$  یک پوشش کمان - انتقالی از گراف نائورو (وقتی که  $G$  ارتقا می‌یابد) باشد. در این صورت پوشش‌های  $p$ -آبلی مقدماتی کمان - انتقالی از گراف نائورو مطابق جدول ۱ است.

## ۶ نتیجه گیری

گراف‌های کمان - انتقالی در شبکه‌های کامپیوتری استفاده می‌شوند، بنابراین مطالعه این گراف‌ها بسیار سودمند است. محققان نظریه گراف در سال‌های اخیر به طور جدی به بررسی خواص این نمودارها پرداخته‌اند. در رده‌بندی این نمودارها مفاهیم جبر خطی مانند گروه همولوژی، زیرفضاهای پایا، نمایش خطی خودریختی‌ها، گروه ماتریس‌ها، ... بسیار مفید است. البته برای ارائه این مقاله از نرم افزار سیج استفاده کردیم. در این مقاله روی پوشش‌های  $p$ -آبلی مقدماتی کمان - انتقالی گراف نائورو بحث کردیم. در آینده قصد داریم پوشش‌های منظم کمان - انتقالی نمودارهای پنج ظرفیتی را مطالعه کنیم.

| زیرفضای پایا | $\xi(x_0)$  | $\xi(x_1)$   | $\xi(x_2)$   | $\xi(x_3)$  | $\xi(x_4)$  | $\xi(x_5)$   | $\xi(x_6)$  |
|--------------|---|--|--|---|---|--|---|
| $W_1$        | $\begin{bmatrix} -2 \\ 0 \end{bmatrix}$                           | $\begin{bmatrix} 1 \\ 1 \end{bmatrix}$                       | $\begin{bmatrix} 1 \\ -1 \end{bmatrix}$                      | $\begin{bmatrix} 1 \\ -1 \end{bmatrix}$                       | $\begin{bmatrix} 1 \\ 1 \end{bmatrix}$                      | $\begin{bmatrix} -1 \\ 1 \end{bmatrix}$                      | $\begin{bmatrix} 1 \\ -1 \end{bmatrix}$                       |
| $S_1$        | $\begin{bmatrix} -3 \\ 0 \\ 0 \end{bmatrix}$                      | $\begin{bmatrix} 2 \\ -2 \\ 2 \end{bmatrix}$                 | $\begin{bmatrix} 1 \\ -2 \\ 2 \end{bmatrix}$                 | $\begin{bmatrix} 1 \\ 0 \\ -2 \end{bmatrix}$                  | $\begin{bmatrix} 1 \\ 0 \\ -2 \end{bmatrix}$                | $\begin{bmatrix} -1 \\ 2 \\ -2 \end{bmatrix}$                | $\begin{bmatrix} 1 \\ 2 \\ -2 \end{bmatrix}$                  |
| $S_2$        | $\begin{bmatrix} -1 \\ -1 \\ 0 \\ 0 \end{bmatrix}$                | $\begin{bmatrix} -1 \\ -1 \\ 0 \\ 0 \end{bmatrix}$           | $\begin{bmatrix} 0 \\ 1 \\ -1 \\ -2 \\ 2 \end{bmatrix}$      | $\begin{bmatrix} 1 \\ 0 \\ -1 \\ 0 \\ -2 \end{bmatrix}$       | $\begin{bmatrix} 0 \\ 1 \\ 0 \\ 0 \\ -2 \end{bmatrix}$      | $\begin{bmatrix} 0 \\ -1 \\ 1 \\ 2 \\ -2 \end{bmatrix}$      | $\begin{bmatrix} 0 \\ 1 \\ -1 \\ 2 \\ -2 \end{bmatrix}$       |
| $S_3$        | $\begin{bmatrix} 0 \\ 0 \end{bmatrix}$                            | $\begin{bmatrix} -1 \\ 1 \end{bmatrix}$                      | $\begin{bmatrix} 1 \\ -1 \end{bmatrix}$                      | $\begin{bmatrix} 0 \\ 2 \end{bmatrix}$                        | $\begin{bmatrix} 0 \\ -2 \end{bmatrix}$                     | $\begin{bmatrix} 1 \\ 1 \end{bmatrix}$                       | $\begin{bmatrix} -1 \\ -1 \end{bmatrix}$                      |
| $S_4$        | $\begin{bmatrix} -2 \\ 0 \\ 0 \\ 0 \end{bmatrix}$                 | $\begin{bmatrix} 1 \\ 1 \\ -1 \\ 1 \end{bmatrix}$            | $\begin{bmatrix} 1 \\ -1 \\ 1 \\ -1 \end{bmatrix}$           | $\begin{bmatrix} 1 \\ -1 \\ 0 \\ 2 \end{bmatrix}$             | $\begin{bmatrix} 1 \\ 1 \\ 0 \\ -2 \end{bmatrix}$           | $\begin{bmatrix} -1 \\ 1 \\ 1 \\ 1 \end{bmatrix}$            | $\begin{bmatrix} 1 \\ -1 \\ -1 \\ -1 \end{bmatrix}$           |
| $S_5$        | $\begin{bmatrix} -3 \\ 0 \\ 0 \\ 0 \\ 0 \end{bmatrix}$            | $\begin{bmatrix} 2 \\ -1 \\ 1 \\ -2 \\ 2 \end{bmatrix}$      | $\begin{bmatrix} 1 \\ 1 \\ -1 \\ -2 \\ 2 \end{bmatrix}$      | $\begin{bmatrix} 2 \\ 0 \\ 2 \\ 0 \\ -2 \end{bmatrix}$        | $\begin{bmatrix} 1 \\ 0 \\ -2 \\ 0 \\ -2 \end{bmatrix}$     | $\begin{bmatrix} -1 \\ 1 \\ 1 \\ 2 \\ -2 \end{bmatrix}$      | $\begin{bmatrix} 1 \\ -1 \\ -1 \\ 2 \\ -2 \end{bmatrix}$      |
| $S_6$        | $\begin{bmatrix} -1 \\ -1 \\ 0 \\ 0 \\ 0 \\ 0 \end{bmatrix}$      | $\begin{bmatrix} 1 \\ 0 \\ 1 \\ -2 \\ 2 \\ -1 \end{bmatrix}$ | $\begin{bmatrix} 0 \\ 1 \\ -1 \\ -2 \\ 2 \\ 1 \end{bmatrix}$ | $\begin{bmatrix} 1 \\ 0 \\ -1 \\ 0 \\ -2 \\ 2 \end{bmatrix}$  | $\begin{bmatrix} 0 \\ 1 \\ 0 \\ 0 \\ -2 \\ 0 \end{bmatrix}$ | $\begin{bmatrix} 0 \\ -1 \\ 1 \\ 2 \\ -2 \\ 1 \end{bmatrix}$ | $\begin{bmatrix} 0 \\ 1 \\ -1 \\ 2 \\ -1 \\ -1 \end{bmatrix}$ |
| زیرفضای پایا | $\xi(x_7)$  | $\xi(x_8)$   | $\xi(x_9)$   | $\xi(x_{10})$   | $\xi(x_{11})$   | $\xi(x_{12})$  |   |
| $W_1$        | $\begin{bmatrix} -1 \\ 1 \end{bmatrix}$                           | $\begin{bmatrix} 1 \\ 1 \end{bmatrix}$                       | $\begin{bmatrix} 1 \\ 1 \end{bmatrix}$                       | $\begin{bmatrix} 1 \\ -1 \end{bmatrix}$                       | $\begin{bmatrix} 1 \\ -1 \end{bmatrix}$                     | $\begin{bmatrix} 1 \\ 1 \end{bmatrix}$                       |   |
| $S_1$        | $\begin{bmatrix} -2 \\ 0 \\ 2 \end{bmatrix}$                      | $\begin{bmatrix} 1 \\ 0 \\ -2 \end{bmatrix}$                 | $\begin{bmatrix} -2 \\ 2 \\ -2 \end{bmatrix}$                | $\begin{bmatrix} 2 \\ 0 \\ 2 \end{bmatrix}$                   | $\begin{bmatrix} 1 \\ 2 \\ -2 \end{bmatrix}$                | $\begin{bmatrix} 1 \\ 0 \\ 2 \end{bmatrix}$                  |   |
| $S_2$        | $\begin{bmatrix} -1 \\ 0 \\ 1 \\ 0 \\ 2 \end{bmatrix}$            | $\begin{bmatrix} 0 \\ 1 \\ 1 \\ 0 \\ -2 \end{bmatrix}$       | $\begin{bmatrix} 1 \\ 0 \\ 1 \\ 2 \\ -2 \end{bmatrix}$       | $\begin{bmatrix} 1 \\ 0 \\ -1 \\ 0 \\ 2 \end{bmatrix}$        | $\begin{bmatrix} 0 \\ 1 \\ -1 \\ 2 \\ -2 \end{bmatrix}$     | $\begin{bmatrix} 0 \\ 1 \\ 1 \\ 0 \\ 2 \end{bmatrix}$        |   |
| $S_3$        | $\begin{bmatrix} 0 \\ -2 \end{bmatrix}$                           | $\begin{bmatrix} -1 \\ 1 \end{bmatrix}$                      | $\begin{bmatrix} 0 \\ -2 \end{bmatrix}$                      | $\begin{bmatrix} -1 \\ -1 \end{bmatrix}$                      | $\begin{bmatrix} 0 \\ 2 \end{bmatrix}$                      | $\begin{bmatrix} 1 \\ 1 \end{bmatrix}$                       |   |
| $S_4$        | $\begin{bmatrix} -1 \\ 1 \\ 0 \\ -2 \end{bmatrix}$                | $\begin{bmatrix} 1 \\ 1 \\ -1 \\ 1 \end{bmatrix}$            | $\begin{bmatrix} 1 \\ 1 \\ 0 \\ -2 \end{bmatrix}$            | $\begin{bmatrix} 1 \\ -1 \\ -1 \\ -1 \end{bmatrix}$           | $\begin{bmatrix} 1 \\ -1 \\ 0 \\ 2 \end{bmatrix}$           | $\begin{bmatrix} 1 \\ 1 \\ 1 \\ 1 \end{bmatrix}$             |   |
| $S_5$        | $\begin{bmatrix} -2 \\ 0 \\ -2 \\ 0 \\ 2 \end{bmatrix}$           | $\begin{bmatrix} 1 \\ -1 \\ 1 \\ 0 \\ -2 \end{bmatrix}$      | $\begin{bmatrix} 2 \\ 0 \\ -2 \\ 2 \\ -2 \end{bmatrix}$      | $\begin{bmatrix} 2 \\ -1 \\ 0 \\ 2 \\ 2 \end{bmatrix}$        | $\begin{bmatrix} 1 \\ 0 \\ 2 \\ 0 \\ -2 \end{bmatrix}$      | $\begin{bmatrix} 1 \\ 1 \\ 0 \\ 2 \\ 2 \end{bmatrix}$        |   |
| $S_6$        | $\begin{bmatrix} -1 \\ 0 \\ 1 \\ 0 \\ 2 \\ 0 \\ -2 \end{bmatrix}$ | $\begin{bmatrix} 0 \\ 1 \\ 1 \\ 0 \\ -2 \\ 1 \end{bmatrix}$  | $\begin{bmatrix} 1 \\ 0 \\ 1 \\ 2 \\ -2 \\ 0 \end{bmatrix}$  | $\begin{bmatrix} 0 \\ 0 \\ -1 \\ 2 \\ -1 \\ -1 \end{bmatrix}$ | $\begin{bmatrix} 0 \\ 1 \\ -1 \\ 2 \\ 0 \\ 2 \end{bmatrix}$ | $\begin{bmatrix} 0 \\ 1 \\ 1 \\ 0 \\ 2 \\ 1 \end{bmatrix}$   |   |

جدول ۱: پوشش های  $p$ -آبلی مقدماتی کمان - انتقالی گراف نائورو

## فهرست منابع

- [1] R.A. Beezer, *Sage for linear algebra; A supplement to a first course in linear algebra*, Sage web site <http://www.sagemath.org>. 2011.
- [2] W. Bosma and J. Cannon, *Handbook of Magma Function*, Sydney University Press, Sydney, 1994.
- [3] Y. Cheng and J. Oxley, *On weakly symmetric graphs of order twice a prime*, J. Combin. Theory Ser. B **42** (1987), 196–211.
- [4] M. Conder, *Trivalent (cubic) symmetric graphs on up to 2048 vertices*, <http://www.math.auckland.ac.nz/conder/symmecubic2048list.txt>, J (2006).
- [5] M. Conder and P. Dobcsanyi, *Trivalent symmetric graphs on up to 768 vertices*, J. Combin. Math. Combin. Comput. **40** (2002), 41–63.
- [6] D.S. Dumit and R.M. Foote, *Abstract algebra*, 2003.
- [7] Y.Q. Feng and J. H. Kwak, *Classifying cubic symmetric graphs of order  $10p$  or  $10p^2$* , Sci. China Ser. A **49** (2006), 300–319.
- [8] Y.Q. Feng, J. H. Kwak and K. Wang, *Classifying cubic symmetric graphs of order  $8p$  or  $8p^2$* , European J. Combin. **26** (2005), 1033–1052.
- [9] Y.Q. Feng, J.H. Kwak and M.Y. Xu, *Cubic  $s$ -regular graphs of order  $2p^3$* , J. Graph Theory **52** (2006), 341–352.
- [10] Y.Q. Feng and J.H. Kwak, *Cubic symmetric graphs of order a small number times a prime or a prime square*, J. Combin. Theory B **94** (2007), 627–646.
- [11] A. Gardiner and C.E. Praeger, *On 4-valent symmetric graphs*, European. J. Combin, **15** (1994), 375–381.
- [12] A. Gardiner and C.E. Praeger, *A characterization of certain families of 4-valent symmetric graphs*, European. J. Combin, **15** (1994), 383–397.
- [13] M. Ghasemi, *A classification of tetravalent one-regular graphs of order  $3p^2$* , Colloq.Math, **128** (2012), 15–24.
- [14] M. Ghasemi and J.X. Zhou, *Tetravalent  $s$ -transitive graphs of order  $4p^2$* , Graphs Combin, **29** (2012), 87–97.
- [15] J.L. Gross and T.W. Tucker, *Generating all graph covering by permutation voltages assignment*, Discrete Math. **18** (1977), 273–283.
- [16] P.J. Hilton and S. Wylie, *Homology theory, an introduction to algebraic topology*, cambridge university, 1960.
- [17] X.H. Hua, Y.Q. Feng and J. Lee, *Pentavalent symmetric graphs of order  $2pq$* , Discrete Math. **311** (2011), 2259–2267.
- [18] J.H. Kwak and J.M. Oh, *Arc transitive elementary abelian covers of the octahedron graph*, Linear algebra and its applications, **429** (2008), 2180–2198.

- [19] A. Malnič, *Group actions, covering and lifts of automorphisms*, Discrete Math. **182** (1998), 203–218.
- [20] A. Malnič, D. Marusič, S. Miklavič and P. Potočnik, *Semisymmetric elementary abelian covers of the Mobius-Kantor graph*, Discrete Math. **307** (2007), 2156–2175.
- [21] A. Malnič, D. Marusič and P. Potočnik, *Elementary abelian covers of graphs*, J. Algebraic Combin. **20** (2004), 71–97.
- [22] A. Malnič and P. Potočnik, *Invariant subspaces, duality, and covers of the Petersen graph*, European J. Combin. **27** (2006), 971–989.
- [23] W.S. Massey, *Algebraic topology: an introduction*, 1976.
- [24] A.A. Talebi and N. Mehdipoor, *Classifying cubic s-regular graphs of orders  $22p$ ,  $22p^2$* , Algebra Discrete Math. **16** (2013), 293–298.
- [25] W.T. Tutte, *Connectivity in graphs*, Toronto University Press, 1966.



## ON APPLICATION OF LINEAR ALGEBRA IN CLASSIFICATION SYMMETRIC ELEMENTARY ABELIAN COVERS OF THE NAURU GRAPH

A.A. Talebi<sup>†</sup>, N. Mehdipour

Department of Mathematics, University of Mazandaran, Babolsar, Iran

Communicated by: Saeid Alikhani

Received: 2022/6/20

Accepted: 2023/5/29

**Abstract:** Let  $X$  be a graph and  $G \leq \text{Aut}(X)$ . A graph  $X$  can be called  $G$ -symmetric if  $G$  acts transitively on its arcs. The covering technique has long been known as a powerful tool in topology and graph theory. In this paper, by using the concepts of linear algebra and covering techniques, we will classify the symmetric elementary abelian covers of the Nauru graph for one of its symmetric subgroup

**Keywords:** Symmetric graph, Covering graph, Voltage assignment, Invariant subspaces.



©2023 Shahid Chamran University of Ahvaz, Ahvaz, Iran. This article is an open access article distributed under the terms and conditions of the Creative Commons Attribution-NonCommercial 4.0 International (CC BY-NC 4.0 license) (<http://creativecommons.org/licenses/by-nc/4.0/>).

<sup>†</sup>Corresponding author.

E-mail addresses: [a.talebi@umz.ac.ir](mailto:a.talebi@umz.ac.ir) (a.talebi), [n.mehdipour@umz.ac.ir](mailto:n.mehdipour@umz.ac.ir) (n.mehdipour).